

имеют вид, аналогичный уравнениям (1.3) — (1.6), причем, как легко показать, получаются из последних предельным переходом при условиях $t_0 \rightarrow 0^+$, $u_0 \rightarrow 0^+$, которые равносильны условию $\kappa \rightarrow -1$.

При $\kappa \rightarrow -1$ модуль скорости v_0^+ на границе застойной зоны FC стремится к нулю, поэтому длина дуги FC также стремится к нулю, значит, $t_0 \rightarrow 0^-$. Как следует из (1.8), при этом $u_0 \rightarrow 0^+$, поэтому длина дуги CE стремится к нулю.

Таким образом, в случае разных констант Бернулли при $\kappa \rightarrow -1$ размеры застойной зоны неограниченно уменьшаются, она стягивается в точку, а схема течения с застойной зоной переходит в схему течения с точкой возврата граничной линии тока.

Автор выражает благодарность Л. И. Седову и В. П. Карликову за внимание и полезные обсуждения результатов работы.

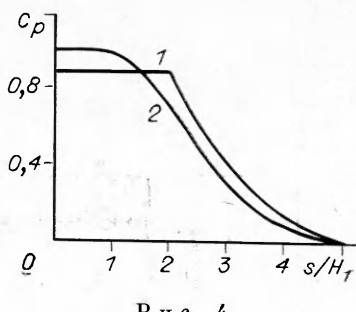


Рис. 4

ЛИТЕРАТУРА

1. Кинеловский С. А., Тришин Ю. А. Симметричное соударение двухслойных струй идеальной несжимаемой жидкости // ПМТФ.— 1980.— № 2.
2. Седов Л. И. Новые методы и новые направления механики сплошной среды // Непрепенные задачи механики и прикладной математики.— М.: Изд-во МГУ, 1977.
3. Шурыгин В. М. Аэродинамика тел со струями.— М.: Машиностроение, 1977.
4. Лукерченко Н. Н. Соударение плоских струй, имеющих различные скоростные напоры, с образованием застойной зоны: Реферат // ПТО.— 1981.— № 6. Рукопись деп. в ЦНТИ «Поиск», № 035—2675.
5. Лукерченко Н. Н. Соударение двух струй с образованием застойной зоны // Вестн. МГУ. Сер. 1. Математика, механика.— 1978.— № 5.

г. Москва

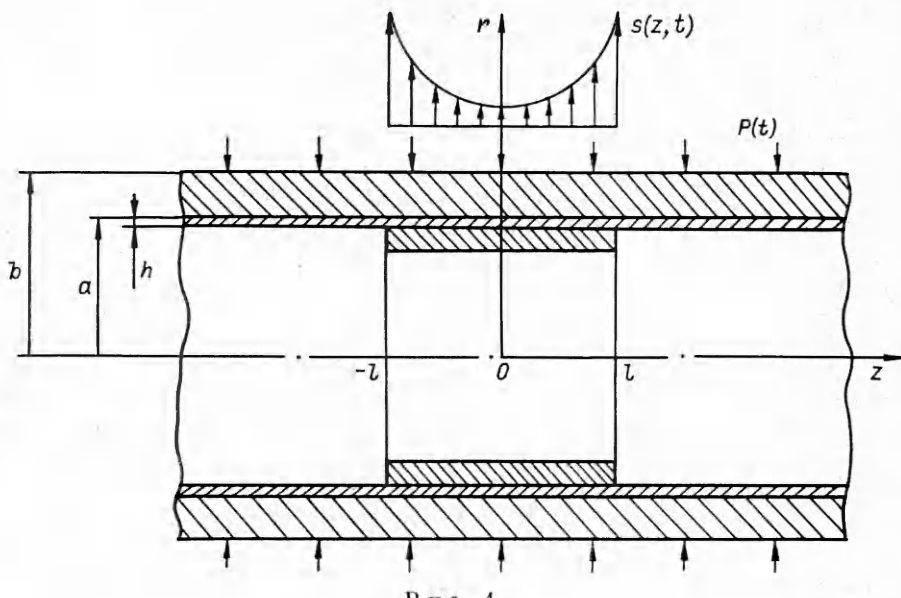
Поступила 21/II 1989 г.,
в окончательном варианте — 4/V 1989 г.

УДК 539.376

A. V. Манжиров, B. A. Черныш

КОНТАКТНАЯ ЗАДАЧА ДЛЯ СЛОИСТОГО НЕОДНОРОДНОГО СТАРЕЮЩЕГО ЦИЛИНДРА, ПОДКРЕПЛЕННОГО ЖЕСТКИМ КОЛЬЦОМ

1. Постановка задачи. Исследуем контактное взаимодействие жесткого подкрепляющего кольца с двухслойным вязкоупругим неоднородным стареющим цилиндром, находящимся под действием внешнего давления. Полагаем, что слои цилиндра изготовлены из разных материалов, в разные моменты времени. Наружный слой внутреннего радиуса a и наружного b изготовлен в момент времени τ_1 , внутренний слой толщиной h — в момент τ_2 , причем h гораздо меньше характерного размера области контакта l и внутреннего радиуса двухслойного цилиндра ($a - h$). Между слоями осуществляется гладкий контакт. В момент времени τ_0 в цилиндре устанавливается с патягом δ_0 жесткое кольцо с профилем поверхности $g(z)$ и подается внешнее давление $P(t)$. Считаем, что кольцо находится на достаточном расстоянии от торцов цилиндра и их влиянием на напряженное состояние под самим кольцом можно пренебречь. Торцы закрыты жесткими заглушками, устрашающими их осевое перемещение (рис. 1).



Р и с. 1

В цилиндрической системе координат имеем следующие уравнения состояния [1–3]:

$$(1.1) \quad \begin{aligned} \sigma_r^{(i)} &= \frac{E_i(t - \tau_i)}{(1 - 2\nu_i)(1 + \nu_i)} (\mathbf{I} + \mathbf{N}_i) [(1 - \nu_i) \varepsilon_r^{(i)} + \nu_i (\varepsilon_\theta^{(i)} + \varepsilon_z^{(i)})], \\ \sigma_\theta^{(i)} &= \frac{E_i(t - \tau_i)}{(1 - 2\nu_i)(1 + \nu_i)} (\mathbf{I} + \mathbf{N}_i) [(1 - \nu_i) \varepsilon_\theta^{(i)} + \nu_i (\varepsilon_z^{(i)} + \varepsilon_r^{(i)})], \\ \sigma_z^{(i)} &= \frac{E_i(t - \tau_i)}{(1 - 2\nu_i)(1 + \nu_i)} (\mathbf{I} + \mathbf{N}_i) [(1 - \nu_i) \varepsilon_z^{(i)} + \nu_i (\varepsilon_r^{(i)} + \varepsilon_\theta^{(i)})], \\ \tau_{rz}^{(i)} &= \frac{E_i(t - \tau_i)}{1 + \nu_i} (\mathbf{I} + \mathbf{N}_i) \varepsilon_{rz}^{(i)}, (\mathbf{I} + \mathbf{N}_i)^{-1} = (\mathbf{I} - \mathbf{L}_i), \\ \mathbf{N}_i \omega(t) &= \int_{\tau_0}^t \omega(\tau) R_i(t - \tau_i, \tau - \tau_i) d\tau, \\ \mathbf{L}_i \omega(t) &= \int_{\tau_0}^t \omega(\tau) K_i(t - \tau_i, \tau - \tau_i) d\tau, \\ K_i(t, \tau) &= E_i(\tau) \frac{\partial}{\partial \tau} \left[\frac{1}{E_i(\tau)} + C_i(t, \tau) \right], \end{aligned}$$

где индексом $i = 1, 2$ обозначены характеристики внутреннего и внешнего слоев цилиндра соответственно; $\sigma_r^{(i)} = \sigma_r^{(i)}(t, r, z)$ и т. д.— компоненты тензора напряжений; $\varepsilon_r^{(i)} = \varepsilon_r^{(i)}(r, z, t)$ — компоненты тензора деформации; $E_i(t - \tau_i)$ — упругомгновенные модули деформации; ν_i — постоянные коэффициенты Пуассона; $C_i(t, \tau)$ — меры ползучести слоев цилиндра; $K_i(t - \tau_i, \tau - \tau_i)$ — ядра ползучести; $R_i(t - \tau_i, \tau - \tau_i)$ — их резольвенты; r и z — радиальная и осевая координаты; t — текущий момент времени; \mathbf{I} — тождественный оператор.

Справедливы также уравнения равновесия и соотношения между деформациями и перемещениями ($u_i = u_i(r, z, t)$, $w = w_i(r, z, t)$ — радиальное и осевое перемещения)

$$(1.2) \quad \begin{aligned} \partial \sigma_r^{(i)} / \partial r + \partial \tau_{rz}^{(i)} / \partial z + (\sigma_r^{(i)} - \sigma_\theta^{(i)}) / r &= 0, \\ \partial \tau_{rz}^{(i)} / \partial r + \partial \sigma_z^{(i)} / \partial z + \tau_{rz}^{(i)} / r &= 0; \end{aligned}$$

$$(1.3) \quad \begin{aligned} \varepsilon_r^{(i)} &= \partial u_i / \partial r, \quad \varepsilon_\theta^{(i)} = u_i / r, \quad \varepsilon_z^{(i)} = \partial w_i / \partial z, \\ \varepsilon_{rz}^{(i)} &= (1/2) (\partial u_i / \partial z + \partial w_i / \partial r). \end{aligned}$$

2. Вывод интегрального уравнения контактной задачи. Решим вспомогательную задачу, заменив жесткое кольцо некоторой распределенной нагрузкой $p(z, t)$, отличной от нуля на участке $|z| \leq l$. Найдем радиальное перемещение внутренней поверхности двухслойного цилиндра, представив решение вспомогательной задачи как результат суперпозиции решений двух независимых: A — о действии нагрузки на бесконечный двухслойный цилиндр при отсутствии внешнего давления; B — о плоской деформации двухслойного цилиндра, находящегося под действием равномерного внешнего давления.

Рассмотрим задачу A . К соотношениям (1.1)–(1.3) добавим граничные условия

$$(2.1) \quad \begin{aligned} r = a - h: \quad \sigma_r^{(1)} &= p(z, t), \quad \tau_{rz}^{(1)} = 0; \\ r = a: \quad \sigma_r^{(1)} &= \sigma_r^{(2)}, \quad u_1 = u_2, \quad \tau_{rz}^{(1)} = \tau_{rz}^{(2)} = 0; \\ r = b: \quad \sigma_r^{(2)} &= 0, \quad \tau_{rz}^{(2)} = 0; \quad |z| \rightarrow \infty: \quad \sigma_r^{(i)}, \sigma_\theta^{(i)}, \sigma_z^{(i)}, \tau_{rz}^{(i)} \rightarrow 0. \end{aligned}$$

Воспользовавшись относительной малостью толщины внутреннего слоя ($h \ll l$), считая, что податливости элементов разных слоев характеризуются величинами одного порядка или податливость элементов внутреннего слоя больше, разложим $\tau_{rz}^{(1)}$ в ряд по степеням $(a - r)l^{-1}$ и ограничимся только линейными членами [3, 4]. Тогда с учетом граничных условий (2.1) для $\tau_{rz}^{(1)}$ при $r = a - h$ и $r = a$ получим, что $\tau_{rz}^{(1)} = 0$. Из второго уравнения равновесия (1.2) имеем $\sigma_z^{(1)} = f(r, t)$. Но $\sigma_z^{(1)} \rightarrow 0$ при $|z| \rightarrow \infty$ (см. (2.1)), поэтому $\sigma_z^{(1)} = 0$. Отсюда на основании выражения (1.1) для $\sigma_z^{(1)}$ найдем

$$(2.2) \quad \varepsilon_z^{(1)} = -v_1(1 - v_1)^{-1}(\varepsilon_r^{(1)} + \varepsilon_\theta^{(1)}).$$

Первое уравнение равновесия (1.2) с учетом (1.1), (2.2) и $\tau_{rz}^{(1)} = 0$ принимает вид (штрих означает производную по r)

$$(2.3) \quad (\varepsilon_r^{(1)'} + v_1 \varepsilon_\theta^{(1)'}) (1 - v_1)^{-1} + (\varepsilon_r^{(1)} - \varepsilon_\theta^{(1)}) r^{-1} = 0.$$

Интегрируя (2.3), при помощи тождества $(\varepsilon_r^{(1)} - \varepsilon_\theta^{(1)}) r^{-1} = \varepsilon_\theta^{(1)'}$ установим, что $\varepsilon_r^{(1)} + \varepsilon_\theta^{(1)} = 2\Psi(z, t)$, и в силу (1.3)

$$(2.4) \quad \partial u_1 / \partial r + u_1 / r = 2\Psi(z, t).$$

Решение уравнения (2.4) можно записать в форме

$$(2.5) \quad u_1 = r\Psi(z, t) + \Phi(z, t)r^{-1}.$$

Сращивая теперь радиальные перемещения по поверхности сопряжения слоев (см. (2.1)), придем к выражению

$$(2.6) \quad \Phi(z, t) = u_2(a, z, t)a - \Psi(z, t)a^2.$$

Подставляя (2.6) в (2.5), имеем

$$(2.7) \quad u_1 = \Psi(z, t)(r - a^2r^{-1}) + u_2(a, z, t)ar^{-1}.$$

На основании (2.7), (1.3) и (2.2) определим $\varepsilon_r^{(1)}$, $\varepsilon_\theta^{(1)}$ и $\varepsilon_z^{(1)}$. После чего при помощи (1.1) получим

$$(2.8) \quad \sigma_r^{(1)} = E_1(1 - v_1^2)^{-1}(I + N_1)\{\Psi(z, t)[1 + v_1 + (1 - v_1)a^2r^{-2}] - (1 - v_1)ar^{-2}u_2(a, z, t)\}.$$

Удовлетворяя граничному условию (2.1) для $\sigma_r^{(1)}$ при $r = a - h$ с учетом (2.8) и пренебрегая далее величинами порядка ha^{-1} по сравнению с единицей

пей, найдем

$$(2.9) \quad \Psi(z, t) = (1/2) [(1 - v_1^2)(\mathbf{I} - \mathbf{L}_1)p(z, t)E_1^{-1} + (1 - v_1)u_2(a, z, t)a^{-1}].$$

Радиальное перемещение внутренней поверхности цилиндра и напряжение $\sigma_r^{(1)}$ при $r = a$ в силу (2.7)–(2.9) можно ниже записать в форме

$$(2.10) \quad u_1(a - h, z, t) = -(1 - v_1)^2(\mathbf{I} - \mathbf{L}_1)p(z, t)E_1^{-1}h + u_2(a, z, t),$$

$$\sigma_r^{(1)}(a, z, t) = p(z, t),$$

причем $u_2(a, z, t)$ определяется из решения задачи для внешнего слоя при следующих граничных условиях (см. (2.1) и (2.10) для $\sigma_r^{(1)}$):

$$(2.11) \quad r = a: \sigma_r^{(2)} = p(z, t), \tau_{rz}^{(2)} = 0; \quad r = b: \sigma_r^{(2)} = 0, \tau_{rz}^{(2)} = 0.$$

Напряженно-деформированное состояние внешнего слоя отыскивается при помощи принципа соответствия [5] и упругомгновенного решения задачи, построенного на основе представления Галеркина [6]:

$$\begin{aligned} \varphi(r, z) &= \int_{-\infty}^{\infty} [A(\alpha)I_0(\alpha r) + B(\alpha)\alpha r I_1(\alpha r) + \\ &\quad + C(\alpha)K_0(\alpha r) + D(\alpha)\alpha r K_1(\alpha r)]e^{i\alpha z}d\alpha, \\ \Delta\Delta\varphi &= 0, \quad \Delta = \partial^2/\partial r^2 + r^{-1}\partial/\partial r + \partial^2/\partial z^2, \\ \sigma_r^{(2)} &= \frac{\partial}{\partial z} \left[v_2 \Delta \varphi - \frac{\partial^2 \varphi}{\partial r^2} \right], \quad \sigma_z^{(2)} = \frac{\partial}{\partial z} \left[(2 - v_2) \Delta \varphi - \frac{\partial^2 \varphi}{\partial z^2} \right], \\ \sigma_\theta^{(2)} &= \frac{\partial}{\partial z} \left[v_2 \Delta \varphi - \frac{1}{r} \frac{\partial \varphi}{\partial r} \right], \quad \tau_{rz}^{(2)} = \frac{\partial}{\partial r} \left[(1 - v_2) \Delta \varphi - \frac{\partial^2 \varphi}{\partial z^2} \right], \\ u_2 &= -\frac{1 + v_2}{E_2} \frac{\partial^2 \varphi}{\partial r \partial z}, \quad w_2 = \frac{1 + v_2}{E_2} \left[2(1 - v_2) \Delta \varphi - \frac{\partial^2 \varphi}{\partial z^2} \right], \end{aligned}$$

где $I_0(\alpha r)$, $I_1(\alpha r)$, $K_0(\alpha r)$, $K_1(\alpha r)$ — функции Бесселя мнимого аргумента. Выражение для радиального перемещения его внутренней поверхности имеет вид

$$(2.12) \quad u_2(a, z, t) = -\frac{2(1 - v_2^2)}{\pi}(\mathbf{I} - \mathbf{L}_2) \int_{-l}^l \frac{p(\xi, t)}{E_2} k(z, \xi) d\xi,$$

$$k(z, \xi) = \int_0^\infty \frac{L(\alpha)}{\alpha} \cos \alpha(z - \xi) d\alpha, \quad L(\alpha) = \alpha [b^{-1} + b^0 D_1^2(\alpha) - \alpha^2 b C_1^2(\alpha)] S^{-1}(\alpha),$$

$$S(\alpha) = a^v b^{-1} + b^0 a^{-1} + a^v b^0 D_1^2(\alpha) - b^0 \alpha^2 b A_1^2(\alpha) + \alpha^4 a b A_1^2(\alpha) - a^0 b \alpha^2 C_1^2(\alpha),$$

$$A_1(\alpha) = I_0(\alpha a)K_0(\alpha b) - I_0(\alpha b)K_0(\alpha a),$$

$$B_1(\alpha) = I_0(\alpha a)K_1(\alpha b) + I_1(\alpha b)K_0(\alpha a),$$

$$C_1(\alpha) = I_0(\alpha b)K_1(\alpha a) + I_1(\alpha a)K_0(\alpha b),$$

$$D_1(\alpha) = I_1(\alpha a)K_1(\alpha b) - I_1(\alpha b)K_1(\alpha a),$$

$$a^0 = 2(1 - v_2)a^{-1} + a\alpha^2, \quad b^0 = 2(1 - v_2)b^{-1} + b\alpha^2,$$

причем ядро $k(z, \xi)$ сохраняет все основные особенности, присущие ядрам плоских контактных задач [4].

Таким образом, радиальное перемещение внутренней поверхности двухслойного цилиндра в задаче А дается следующей формулой (см.

(2.10)–(2.12)):

$$(2.13) \quad u_1(a-h, z, t) = -(1-v_1^2) h (\mathbf{I} - \mathbf{L}_1) p(z, t) E_1^{-1}(t-\tau_1) - \frac{2(1-v_2^2)}{\pi} (\mathbf{I} - \\ - \mathbf{L}_2) \int_{-l}^l \frac{p(\xi, t)}{E_2(t-\tau_2)} k(z, \xi) d\xi.$$

Плоская деформация цилиндра в задаче B исследуется при граничных условиях

$$r = a - h: \sigma_r^{(1)} = 0; \quad r = a: \sigma_r^{(1)} = \sigma_r^{(2)}, \quad u_1 = u_2; \quad r = b: \sigma_r^{(2)} = -P(t).$$

Замкнутое решение этой задачи позволяет записать перемещение u_1 при $r = a - h$ в виде

$$(2.14) \quad u_1(a-h, z, t) = -(\mathbf{I} - \mathbf{L}_1)(\mathbf{I} + \mathbf{N}_3)\theta_1(t)(\mathbf{I} - \mathbf{L}_2)P(t)E_2^{-1}(t-\tau_2), \\ \theta_1(t) = b_1\theta(t), \theta(t) = [b_2E_1(t-\tau_1)E_2^{-1}(t-\tau_2) + b_3]^{-1}, \\ b_1 = 2(1-v_1)(a-h)^{-1}(1+v_2)\{(1-2v_2)a + \\ + a^2b^2(b^2-a^2)^{-1}[(1-2v_2)ab^{-2} + a^{-1}]\}, \\ b_2 = (1+v_1)^{-1}[a^{-2} - (a-h)^{-2}](1+v_2)a^2b^2 \times \\ \times (b^2-a^2)^{-1}[(1-2v_2)ab^{-2} + a^{-1}], \\ b_3 = (1-2v_1)(a-h)^{-2}a + a^{-1}, \quad \mathbf{N}_3\omega(t) = \int_{\tau_0}^t \omega(\tau)R_3(t, \tau)d\tau,$$

где $R_3(t, \tau)$ — резольвента ядра $K_3(t, \tau) = [b_2K_2(t-\tau_2, \tau-\tau_1)E_1(\tau-\tau_1) \times \\ \times E_2^{-1}(\tau-\tau_2) + b_3K_1(t-\tau_1, \tau-\tau_1)]\theta(t)$.

Радиальное перемещение внутренней поверхности двухслойного цилиндра во вспомогательной задаче о действии на него нормальной распределенной нагрузки $p(z, t)$ и внешнего давления $P(t)$ получим, просуммировав (2.13) и (2.14).

Полагая $p(z, t) = -s(z, t)$ и приравнивая найденное перемещение пятыгу кольца с учетом профиля его поверхности $\delta_0 - g(z)$, имеем интегральное уравнение контактной задачи в виде

$$(2.15) \quad (1-v_2^2)h(\mathbf{I} - \mathbf{L}_1)\frac{s(z, t)}{E_1(t-\tau_1)} + \frac{2(1-v_2^2)}{\pi}(\mathbf{I} - \mathbf{L}_2)\int_{-l}^l \frac{P(\xi, t)}{E_2(t-\tau_2)} \times \\ \times k(z, \xi) d\xi = (\mathbf{I} - \mathbf{L}_1)(\mathbf{I} + \mathbf{N}_3)\theta_1(t)(\mathbf{I} - \mathbf{L}_2)P(t)E_2^{-1}(t-\tau_2) + \\ + \delta_0 - g(z) \quad (|z| \leq l).$$

3. Решение интегрального уравнения контактной задачи. Сделаем в уравнении (2.15) замену переменных по формулам

$$\begin{aligned} z^* &= zl^{-1}, \quad \xi^* = \xi l^{-1}, \quad t^* = t\tau_0^{-1}, \quad \tau^* = \tau\tau_0^{-1}, \\ \tau_1^* &= \tau_1\tau_0^{-1}, \quad \tau_2^* = \tau_2\tau_0^{-1}, \quad \delta_0^* = \delta_0 l^{-1}, \quad k^*(z^*, \xi^*) = \pi^{-1}k(z, \xi), \\ q^*(z^*, t^*) &= 2(1-v_2^2)q(z, t)E_2^{-1}(t-\tau_2), \quad g^*(z^*) = g(z)l^{-1}, \\ P^*(t^*) &= 2(1-v_2^2)P(t)E_2^{-1}(t-\tau_2), \quad \theta_1^*(t^*) = (1/2)\theta_1(t)l^{-1}(1-v_2^2)^{-1}, \\ c(t^*) &= \frac{(1-v_1^2)E_2(t-\tau_2)h}{2(1-v_2^2)E_1(t-\tau_1)l}, \\ K^{(1)}(t^*, \tau^*) &= \frac{E_1(t-\tau_1)E_2(\tau-\tau_2)}{E_1(\tau-\tau_1)E_2(t-\tau_2)}K_1(t-\tau_1, \tau-\tau_1)\tau_0, \\ K^{(2)}(t^*, \tau^*) &= K_2(t-\tau_2, \tau-\tau_2)\tau_0, \end{aligned}$$

$$\begin{aligned}
K^{(0)}(t^*, \tau^*) &= K_1(t - \tau_1, \tau - \tau_1) \tau_0, \\
f^*(z^*, t^*) &= \delta^*(t^*) - g^*(z^*), R_3^*(t^*, \tau^*) = R_3(t, \tau) \tau_0, \\
\delta^*(t^*) &= \delta_0^* + (\mathbf{I} - \mathbf{L}_0^*) (\mathbf{I} + \mathbf{N}^*) \theta_1^*(t^*) (\mathbf{I} - \mathbf{L}_2^*) P^*(t^*), \\
\mathbf{L}_i^* \omega(t) &= \int_1^t \omega(\tau) K^{(i)}(t, \tau) d\tau \quad (i = 0, 1, 2), \quad \mathbf{N}^* \omega(t) = \int_1^t \omega(\tau) R_3^*(t, \tau) d\tau, \\
\mathbf{A}^* p(z^*, t^*) &= \int_{-1}^1 p(\xi^*, t^*) k^*(z^*, \xi^*) d\xi^*.
\end{aligned}$$

Опуская теперь звездочки в обозначениях для всех величин, кроме операторов, получим разрешающее уравнение задачи в виде

$$(3.1) \quad c(t) (\mathbf{I} - \mathbf{L}_1^*) s(z, t) + (\mathbf{I} - \mathbf{L}_2^*) \mathbf{A}^* s(z, t) = f(z, t),$$

где функция контактных давлений $s(z, t)$ и правая часть уравнения $f(z, t)$ непрерывны по времени в $L_2[-1, 1]$; $c(t) > 0$ — непрерывная функция t ; ядра операторов Вольтерра \mathbf{L}_i^* ($i = 1, 2$) непрерывны либо слабо-сингулярны; оператор \mathbf{A}^* вполне непрерывный, самосопряженный и положительно определенный из $L_2[-1, 1]$ в $L_2[-1, 1]$, причем

$$\int_{-1}^1 \int_{-1}^1 k^2(z, \xi) d\xi dz < \infty.$$

Представим решение уравнения (3.1) в форме рядов по собственным функциям $\varphi_i(z)$ оператора \mathbf{A}^* , соответствующим его собственным числам α_i ($i = 0, 1, 2, \dots$) [7, 8]:

$$(3.2) \quad s(z, t) = \sum_{i=0}^{\infty} \omega_i(t) \varphi_i(z), \quad f(z, t) = \sum_{i=0}^{\infty} f_i(t) \varphi_i(z);$$

$$(3.3) \quad \mathbf{A}^* \varphi_i(z) = \alpha_i \varphi_i(z).$$

Подставляя (3.2) в (3.1), получим

$$\omega_i(t) = \frac{f_i(t)}{c(t) + \alpha_i} + \int_1^t \frac{f_i(\tau)}{c(\tau) + \alpha_i} R^i(t, \tau) d\tau$$

($R^i(t, \tau)$ — резольвента ядра $K^i(t, \tau) = [c(t)K^{(1)}(t, \tau) + \alpha_i K^{(2)}(t, \tau)] \cdot [c(t) + \alpha_i]^{-1}$).

Таким образом, решение построено. Имеет смысл остановиться вкратце на одном из способов нахождения собственных функций и собственных чисел оператора \mathbf{A}^* . Возьмем собственные функции и ядро оператора \mathbf{A}^* в виде ($P_k^*(z)$ ($k = 0, 1, \dots$) — базис $L_2[-1, 1]$)

$$(3.4) \quad \varphi_i(z) = \sum_{k=0}^{\infty} a_k^i P_k^*(z), \quad k(z, \xi) = \sum_{m=0}^{\infty} \sum_{n=0}^{\infty} r_{mn} P_m^*(z) P_n^*(\xi).$$

Тогда на основании (3.3) с учетом (3.4) запишем систему алгебраических уравнений для отыскания собственных чисел α_i и коэффициентов разложения собственных функций a_k^i

$$\sum_{n=0}^{\infty} r_{mn} a_n^i = \alpha_i a_m^i \quad (m = 0, 1, 2, \dots).$$

Ограничиваюсь N членами базиса $P_k^*(z)$, получим N -е приближение метода Бубнова—Галеркина [9].

Отметим, что в случае, когда слои цилиндра изготовлены из одного и того же стареющего вязкоупругого материала в один и тот же момент времени, предварительный патяг кольца $\delta_0 = 0$ и профиль основания описывается функцией $g(z) = 0$, ползучесть не оказывает влияния на напряженное состояние цилиндра, а решение задачи совпадает с упругим.

В заключение остановимся на некоторых особенностях численного определения коэффициентов разложения r_{mn} ядра контактной задачи $k(z, \xi)$. Если в качестве базиса взять ортонормированные полиномы Лежандра, то, согласно [4], придем к выражениям вида

(3.5)

$$r_{mn}(\lambda) = (-1)^{m+n} [(4m+1)(4n+1)]^{1/2} \lambda \int_0^\infty \frac{L(u)}{u^2} J_{1/2+2m}\left(\frac{u}{\lambda}\right) J_{1/2+2n}\left(\frac{u}{\lambda}\right) du$$

$$(m, n = 0, 1, 2, \dots).$$

Вычисление интегралов (3.5) при больших m и n требует специального рассмотрения, так как подынтегральные выражения быстро осциллируют. Эффективный численный алгоритм можно построить на основе [10]. Действительно, подставим подынтегральную функцию в виде произведения медленно и быстро меняющихся функций. Пусть для быстро меняющейся функции $K(x)$ интеграл берется в явном виде. Тогда, разбивая пределы интегрирования на n частей и аппроксимируя медленно меняющуюся функцию $f(x)$ на каждом интервале ее значением в центре, получим

$$\int_a^b f(x) K(x) dx = \sum_{i=1}^n \int_{x_{i-1}}^{x_i} f(x) K(x) dx \approx \sum_{i=1}^n f_i (K_i - K_{i-1}),$$

где $x_0 = a$, $x_n = b$, K_i — первообразная функции $K(x)$ в точке x_i , $f_i = f[(x_i + x_{i-1})/2]$. Отметим, что все необходимые выражения для первообразных быстро осциллирующих подынтегральных функций из (3.5) можно найти в [11]. Кроме того, на основании изложенного алгоритма нетрудно определить то конечное значение верхнего предела в (3.5), которое удовлетворяет заданной точности вычисления коэффициентов r_{mn} , поскольку поведение функции $L(u)$ при $u \rightarrow \infty$ легко поддается анализу.

4. Примеры. Рассмотрим цилиндр, внутренний и внешний слои его изготовлены из вязкоупругого стареющего материала. Упругие характеристики E_i , v_i ($i = 1, 2$) постоянны. Меру ползучести материала слоев представим в виде [5]

$$(4.1) \quad C_1(t, \tau) = C_2(t, \tau) = C(t, \tau) = [C_0 + A_0 \exp(-\beta\tau)] \times$$

$$\times \{1 - \exp[-\gamma(t - \tau)]\}.$$

Зададимся следующими значениями параметров двухслойного цилиндра [5, 12]: $E_1 = E_2 = 5 \cdot 10^3$ МПа, $v_1 = v_2 = 0,1$, $C_0 E_1 = 0,5522$,

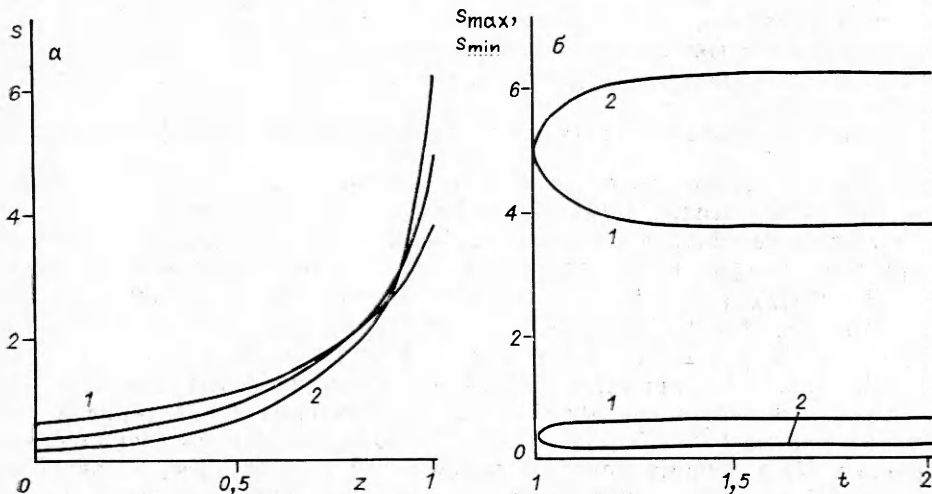


Рис. 2

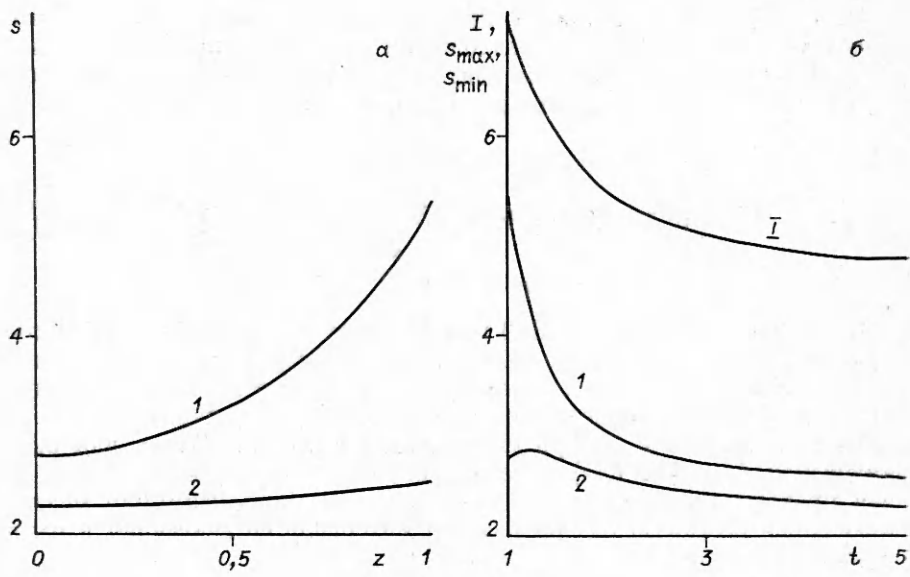


Рис. 3

$$A_0 E_1 = 4, ab^{-1} = 0,81, \beta = 0,031 \text{ сут}^{-1}, \gamma = 0,06 \text{ сут}^{-1}, hl^{-1} = 0,31, bl^{-1} = 10, c(t) = 0,155, P(t) = 1, g(z) = 0, \delta_0 = 0, \theta_1(t) = 20,72.$$

Пусть внешний слой изготовлен в нулевой момент времени, а внутренний — через 50 сут, внешнее давление прикладывается через 65 сут (для безразмерных величин $\tau_2 = 0, \tau_1 = 0,77$). Кривые на графиках для этого случая отметим индексом 1. Исследуем также вариант, когда внутренний слой изготовлен в нулевой момент времени, а внешний — через 50 сут при том же значении момента приложения нагрузки $\tau_0 = 65$ сут, т. е. $\tau_1 = 0, \tau_2 = 0,77$. Кривые на рисунках для этого варианта отметим индексом 2.

На рис. 2, а показаны распределения контактных давлений под кольцом для двух рассматриваемых случаев в различные моменты времени. Кривая без индекса показывает распределение напряжений в момент приложения внешнего давления. Кривые с индексами 1 и 2 задают распределение контактных давлений при $t = 2$. На рис. 2, б даны изменения максимальных и минимальных контактных давлений по времени для двух выбранных случаев.

Графики показывают, что если возраст внешнего слоя меньше возраста внутреннего, то напряженное состояние под кольцом с течением времени сглаживается, в противном случае его неравномерность усиливается. Интегральная характеристика контактных давлений $I(t) = \int_{-1}^1 s(z, t) dz$ убывает по времени слабо, и для инженерных расчетов с достаточной степенью точности можно положить $I(t) = I(1)$. Основным здесь является эффект перераспределения контактных давлений.

Теперь рассмотрим цилиндр, внешний слой которого изготовлен из упругого материала, а внутренний — из вязкоупругого стареющего: $E_1 E_2^{-1} = 0,025, v_1 = 0,1, v_2 = 0,3, ab^{-1} = 0,81, C_0 E_1 = 0,5522, A_0 E_1 = 4, \tau_0 = 15$ сут, $\beta = 0,031 \text{ сут}^{-1}, \gamma = 0,06 \text{ сут}^{-1}, hl^{-1} = 0,06, bl^{-1} = 10, c(t) = 1,36, \theta(t) = 24,06, \tau_1 = 0, P(t) = 1, g(z) = 0, \delta_0 = 0$.

На рис. 3, а приведено распределение контактных давлений под кольцом в момент приложения внешнего давления $t = 1$ (кривая 1) и в момент времени $t = 5$ (2). На рис. 3, б представлены изменения максимальных (1) и минимальных (2) напряжений под кольцом, а также интегральной характеристики $I(t)$ контактных давлений по времени. Видно, что с течением времени распределение напряжений существенно сглажи-

вается, а сами напряжения сильно релаксируют. Расчеты показывают, что в формировании напряженного состояния под кольцом проявляются две тенденции: к изменению контактных напряжений за счет неоднородности цилиндра и к уменьшению напряжений за счет релаксации. Первая может проявиться двояко в зависимости от характера неоднородности. Это можно четко проследить по результатам первого примера, когда влияние релаксации мало. Второй пример демонстрирует взаимодействие двух тенденций. Здесь за счет неоднородности материалов происходит, с одной стороны, сглаживание распределения контактных напряжений, когда максимальные напряжения уменьшаются, а минимальные растут. С другой стороны, контактные напряжения уменьшаются за счет процесса релаксации. Для максимальных напряжений обе тенденции ведут к их уменьшению. Для минимальных в начальный период превалирующей является первая тенденция, поэтому напряжения несколько возрастают. Однако с течением времени более сильной становится вторая тенденция и минимальные напряжения начинают уменьшаться.

Авторы благодарят Н. Х. Арутюняна за помощь и внимание к работе.

ЛИТЕРАТУРА

1. Арутюнян Н. Х. Некоторые задачи теории ползучести для неоднородно стареющих тел // Изв. АН СССР. МТТ.— 1976.— № 3.
2. Арутюнян Н. Х., Колмановский В. Б. Теория ползучести неоднородных тел.— М.: Наука, 1983.
3. Манжиров А. В. Плоские и осесимметричные задачи о действии нагрузок на тонкий неоднородный вязкоупругий слой // ПМТФ.— 1983.— № 5.
4. Александров В. М., Мхитарян С. М. Контактные задачи для тел с тонкими покрытиями и прослойками.— М.: Наука, 1983.
5. Арутюнян Н. Х. Некоторые вопросы теории ползучести.— М.; Л.: Гостехиздат, 1952.
6. Шапиро Г. С. О сжатии бесконечного полого и кругового цилиндра давлением, приложенным на участке боковой поверхности // ПММ.— 1943.— Т. 7, вып. 5.
7. Александров В. М., Манжиров А. В. О двумерных интегральных уравнениях в прикладной механике деформируемых твердых тел // ПМТФ.— 1987.— № 5.
8. Манжиров А. В. Контактные задачи о взаимодействии вязкоупругих оснований, подверженных старению, с системами неодновременно прикладываемых штампов // ПММ.— 1987.— Т. 51, вып. 4.
9. Михлин С. Г. Вариационные методы в математической физике.— М.: Наука, 1970.
10. Крылов В. И. Приближенное вычисление интегралов.— М.: Наука, 1967.
11. Прудников А. П., Брычков Ю. А., Маричев О. И. Интегралы и ряды: Специальные функции.— М.: Наука, 1983.
12. Struik L. C. I. Physical aging in amorphous polymers and other materials.— Amsterdam: Elsevier, 1978.

г. Москва

Поступила 14/XII 1987 г.,
в окончательном варианте — 14/VI 1989 г.

УДК 539.3

B. H. Аптуков, A. B. Фонарев

РАСЧЕТ УПРУГОПЛАСТИЧЕСКИХ ТЕЧЕНИЙ НА НЕРЕГУЛЯРНЫХ ТРЕУГОЛЬНЫХ СЕТКАХ С ПЕРЕСТРОЙКОЙ

1. **Введение.** Методы решения задач динамического деформирования твердых тел очень разнообразны, что определяется широким диапазоном процессов высокоскоростной деформации и различными технологическими приложениями. Не существует каких-либо универсальных методов, каждый метод ограничен сравнительно узкими рамками согласно области его эффективного применения. Анализ современного состояния вопроса по численному моделированию нестационарных задач динамики упругопластических тел приведен в [1].